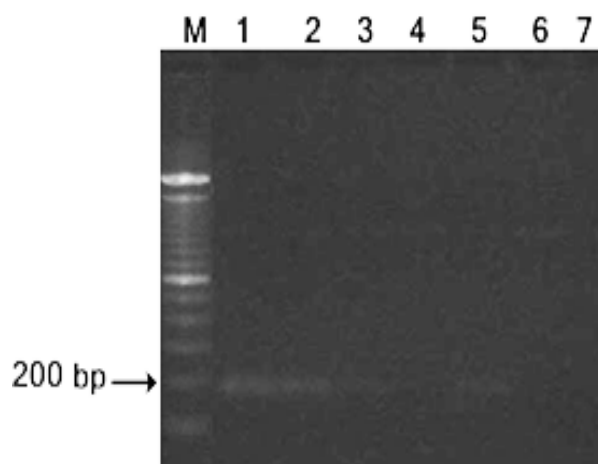


จากผลการทำ RT-PCR แสดงว่า การแสดงออกของยีน Cu,Zn-SOD มีระดับใกล้เคียงกันในตาข้าง
 ระยะที่ 1 และ ระยะที่ 2 แล้วลดลงในช่วงเกิดการกระตุ้นการเจริญของตาข้างระยะที่ 3 ถึง ระยะที่ 4 กลับ
 เพิ่มสูงขึ้นในระยะที่ 5 แล้วลดลงอีกในระยะที่ 6 การเปลี่ยนแปลงมีแนวโน้มไม่สัมพันธ์กับการเปลี่ยน
 ระยะการเจริญของตาข้างในช่วงเกิดการงอก

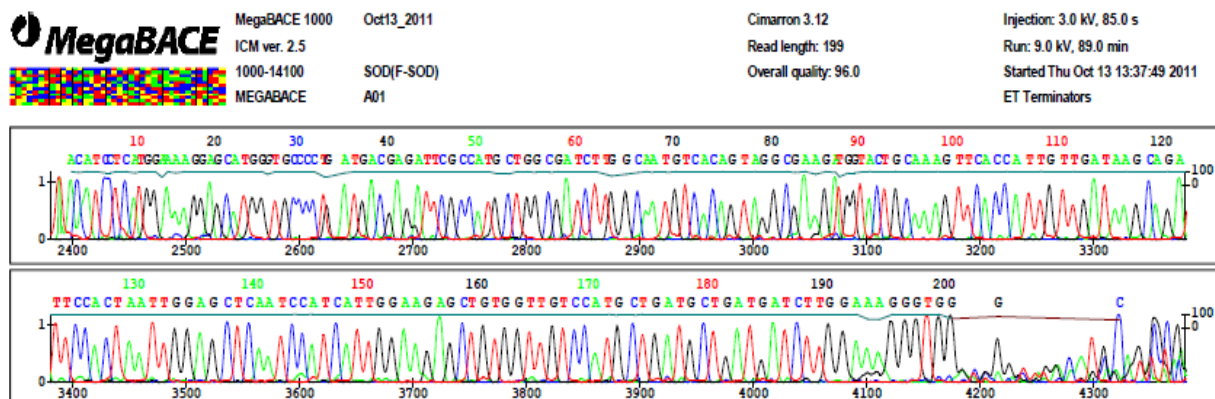


ภาพที่ 14 ผลการทำ RT-PCR ของ Cu, Zn-SOD จากตาข้างที่หัวเขรุษาลีเอ็มอาร์ดิโซกทั้ง 6 ระยะ
 (cDNA 200 นาโนกรัม PCR 25 cycles)

M: 100 bP DNA ladder marker

ตัวเลขกำกับ 1-6 แทนระยะการเจริญทั้ง 6 ระยะ ตามลำดับ

7: negative control



Query หมายถึง ลำดับเบสของผลิตภัณฑ์ RT-PCR ที่ได้จากการทดลอง

Sbjct หมายถึง ลำดับอ้างอิง ในที่นี้คือ ลำดับเบสของ Cu,Zn-SOD ของ *Helianthus annuus*

➤ AJ786258.1 *Helianthus annuus* mRNA for Cu, Zn superoxide dismutase, (sod2 gene)

Score = 350 bits (189), Expect = 2e-93

Identities = 195/198 (98%), Gaps = 0/198 (0%)

Strand=Plus/Plus

Query 3 ATCCTCATGGAAAGGAGCATGGTGCCCTGATGACGAGATTCGCCATGCTGGCGATCTTG 62

|||||

Sbjct 280 ATCCTCATGGAAAGGAGCATGGTGCCCTGATGACGAGATTCGCCATGCTGGCGATCTTG 339

Query 63 GCAATGTCACAGTAGGCGAAGATGGTACTGCAAAGTTCACCATTGTTGATAAGCAGATTC 122

|||||

Sbjct 340 GCAATGTCACAGTAGGCGAAGATGGTACTGCAAAGTTCACCATTGTTGATAAGCAGATTC 399

Query 123 CACTAATTGGAGCTCAATCCATCATTGGAAGAGCTGTGGTTGTCCATGCTGATGCTGATG 182

|||||

Sbjct 400 CACTAATTGGAGGTCAATCCATCATTGGAAGAGCTGTGGTTGTCCATGCTGATCCTGATG 459

Query 183 ATCTTGAAAGGGTGGGC 200

|||||

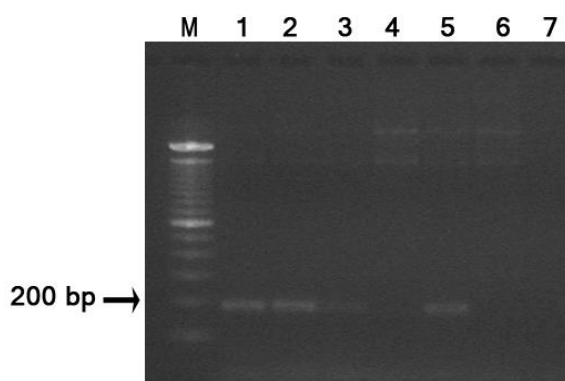
Sbjct 460 ATCTTGAAAGGGGAGGC 477

ภาพที่ 15 ผลการลำดับเบสและการวิเคราะห์ด้วย Nucleotide Blast ของผลิตภัณฑ์ RT-PCR ของการวิเคราะห์การแสดงออกของ Cu,Zn-SOD จากตาข้างระยะที่ 1 ของหัวแก่่นตะวัน

การออกแบบไพรเมอร์สำหรับงาน RT-PCR ของเอนไซม์แอสคอร์เบตเปอร์ออกซิเดส (APX) อาศัยข้อมูลยีน *APX* ของ *Arachis hypogaea* (accession no. DQ097722.1) เป็นต้นแบบในการใช้ออกแบบไพรเมอร์ในครั้งนี้จากฐานข้อมูล GenBank ในขั้นตอนแรกของการออกแบบไพรเมอร์เริ่มจากการหาบริเวณช่วงลำดับเบสอนุรักษ์ (conserved sequences) กันระหว่างพืชชนิดอื่นอีก 8 ตัวอย่าง ด้วยโปรแกรม ClustalW ได้ไพรเมอร์ ซึ่งคาดคะเนว่าจะเกิดปฏิกิริยา PCR กับบริเวณเป้าหมายได้ผลิตภัณฑ์จำเพาะขนาด 183 bp

ผลการทำ RT-PCR ของ Ascorbate peroxidase (APX) ที่ตาข้างของหัวเยรูซาเล็มอาร์ติโชกทั้ง 6 ระยะ

จากการทำ RT-PCR ของ *APX* จากตาข้างหัวเยรูซาเล็มอาร์ติโชกทั้ง 6 ระยะ ด้วยคู่ไพรเมอร์ที่ออกแบบ โดยใช้อุณหภูมิ annealing ที่ 60 องศาเซลเซียส เมื่อตรวจสอบด้วย agarose gel electrophoresis พบผลิตภัณฑ์แถบเดี่ยวตามขนาดที่คาดคะเนไว้ที่ 183 bp (ภาพที่ 16) เมื่อนำไปยืนยันด้วยการวิเคราะห์ลำดับเบส พบว่าเป็นลำดับของเอนไซม์ APX (ภาพที่ 17) การแสดงออกของ APX สัมพันธ์กับการแสดงออกของ Cu,Zn-SOD ซึ่งสอดคล้องกับหน้าที่ตามธรรมชาติของเอนไซม์สองชนิดนี้ ซึ่ง APX ทำหน้าที่รับช่วงจาก Cu,Zn-SOD ที่ผลิตไฮโดรเจนเปอร์ออกไซด์ ส่วน APX สลายไฮโดรเจนเปอร์ออกไซด์ต่อให้กลายเป็นน้ำและออกซิเจน



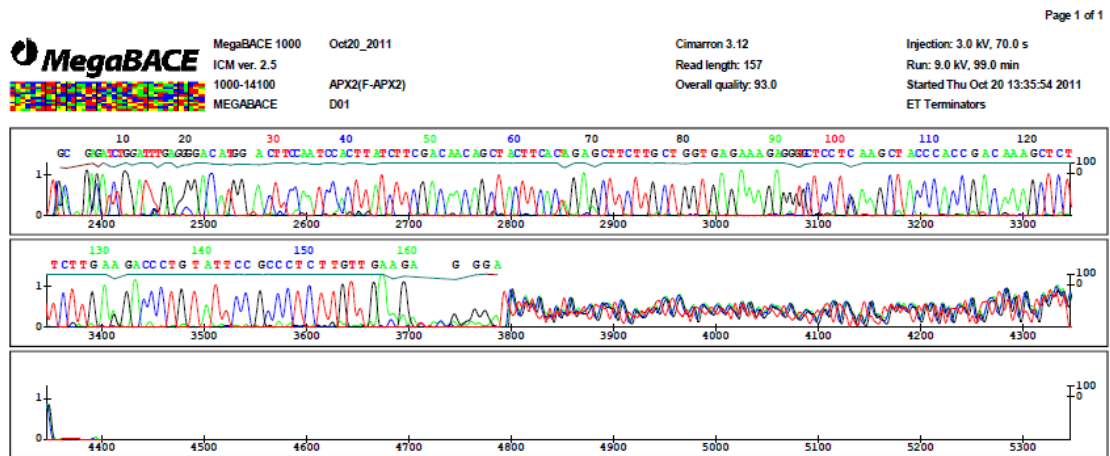
ภาพที่ 16 ผลการทำ RT-PCR ของ APX จากตาข้างที่หัวเยรูซาเล็มอาร์ติโชกทั้ง 6 ระยะ

(cDNA 200 นาโนกรัม, PCR 25 cycles)

M: 100 bp DNA ladder marker

ตัวเลข 1-6 แทนระยะการเจริญของตาข้าง 1-6 ระยะ ตามลำดับ

7: negative control



Query หมายถึง ลำดับเบสของผลิตภัณฑ์ RT-PCR ที่ได้จากการทดลอง

Sbjct หมายถึง ลำดับอ้างอิง ในที่นี้คือ ลำดับเบสของ *Tragopogon porrifolius* ascorbate peroxidase 2-like protein

Score = 163 bits (180), Expect = 3e-37

Identities = 130/154 (84%), Gaps = 2/154 (1%)

Strand=Plus/Plus

Query 4 AGATCTGGATTTGAGGGGACATGGACTTCCAATCCACTTATCTTCGACAACAGCTACTTC 63

||||||| ||| ||||| ||||| ||||| ||||| ||||| ||||| ||||| ||||| ||||| ||||| ||||| |||||

Sbjct 125 AGATCTGGATTTGAAGGACCATGGACCCCAAATCCTCTTATCTTTGACAACAGCTACTTC 184

Query 64 ACTAGAGCTTCTTGCTGGTGAGAAAGAGGGTGCTCCTCAAGCTACCCACCGACAAAGCTC 123

|| ||| | ||||| ||||| || || ||| ||||| || ||||| || ||||| ||

Sbjct 185 AC-AGAATTGCTTGCTGGTGAGAAGGAAGG-GCTTTTGAAGCTACCTACGGACAAGGCTC 242

Query 124 TTCTTGAAGACCCTGTATTCCGCCCTCTTGTTGA 157

||||||| ||||| ||||| ||||| ||||| ||||| ||||| ||||| ||||| ||||| |||||

Sbjct 243 TTCTTGAAGACCCTGTATTCCGACCTTTGGTTGA 276

ภาพที่ 17 ผลการลำดับเบสและการวิเคราะห์ด้วย Nucleotide Blast ของผลิตภัณฑ์ RT-PCR ของการวิเคราะห์ การแสดงออกของแอสคอร์เบตเปอร์ออกซิเดส (APX) จากตาข้างระยะที่ 1 ของหัวแก่นตะวัน

5. อภิปรายผลการวิจัย

เลกตินเป็นโปรตีนที่มีบริเวณจับอย่างจำเพาะสำหรับน้ำตาล (sugar binding site) (Sharon and Lis 1972) เลกตินแบ่งเป็นกลุ่มตามความจำเพาะต่อน้ำตาล ได้แก่ เลกตินที่จำเพาะต่อกลูโคส/ แมนโนส (mannose) เลกตินที่จำเพาะต่อกาแลคโตส (galactose)/ อะเซทิลกาแลคโตซามีน (N-acetylgalactosamine) เป็นต้น พบเลกตินทั้งในพืชและสัตว์ ในพืชนั้นมีบทบาทเกี่ยวข้องกับการควบคุมการงอกของเมล็ด การจดจำกัน (recognition) ระหว่างละอองเกสรตัวผู้กับไข่เพื่อให้เกิดการปฏิสนธิ และกระตุ้นการแบ่งเซลล์ของพืช เป็นต้น พบเลกตินได้ในเซลล์ของราก ลำต้น ใบ ในเซลล์ของเนื้อเยื่อสืบพันธุ์ ในส่วนเนื้อเยื่อเก็บสะสมอาหาร (Borrebaeck 1984) ปัจจุบันยังพบว่าเลกตินทำหน้าที่ป้องกันกลไกการรุกรานจากไวรัส จุลินทรีย์ และแมลง (Vandenborre et al. 2011) ส่วนใหญ่เลกตินสะสมอยู่มากที่ใบเลี้ยงในระยะที่เป็นเอนโดสเปิร์ม (endosperm) ของเมล็ด และคาดว่าเป็นแหล่งสำรองที่พืชจะใช้ในการเจริญเติบโต มีหลักฐานว่าปริมาณของเลกตินลดลงเมื่อเมล็ดเริ่มงอก อย่างไรก็ตาม ด้วยข้อมูลนี้ยังสรุปไม่ได้ว่า เลกตินทำหน้าที่เป็นโปรตีนสำรองเพียงอย่างเดียว มีรายงานที่น่าสนใจว่า เลกตินยังสามารถจับยึดกับฮอร์โมนพืชไซโตไคนิน (cytokinin) โดยใช้บริเวณไฮโดรโฟบิกของโมเลกุล (Roberts and Goldstein 1983) ความรู้เกี่ยวกับเลกตินส่วนใหญ่ได้มาจากการศึกษากับเลกตินที่เอนโดสเปิร์มของเมล็ด ส่วนเลกตินที่เนื้อเยื่อทั่วไป (vegetative tissues) ยังมีการศึกษากันน้อยมาก (อ้างใน Esteban et al. 2002) การเข้าใจถึงหน้าที่ของเลกตินจำเป็นต้องได้ข้อมูลจากพืชหลายชนิด โดยต้องศึกษาเลกตินในเนื้อเยื่อหลายส่วนและที่ช่วงชีวิตต่างๆ กัน Van Damme et al. (2004) รวบรวมการค้นพบเลกตินอยู่ในไซโตพลาสซึมและนิวเคลียส

ตาที่หัวแก่นตะวัน (เยรูซาเล็มอาร์ติโชค) เป็นเนื้อเยื่อเจริญที่พักตัว เพราะหัวแก่นตะวันเป็นส่วนของลำต้นใต้ดินซึ่งเปลี่ยนพัฒนาการเป็นเนื้อเยื่อไม่เจริญแต่เก็บสะสมอาหาร พรพิมล เจียรณัยปริเปรมและคณะ (2554) รายงานพบการลดลงของปริมาณโปรตีนเลกติน 2 (lectin2) ในขณะที่ตาข้าง (lateral bud) กำลังเริ่มงอก Esteban et al. (2002) รายงานผลในทำนองคล้ายกันนี้ในการทดลองกับต้นอ่อน (seedling) ของถั่วชนิดหนึ่ง (chickpea) ซึ่งปริมาณเลกตินชนิดหนึ่งในอพิโคทิล (epicotyl) ลดลงขณะเจริญเติบโต

ในการวิจัยนี้ ใช้วิธีการสกัดโปรตีนแยกส่วนเซลล์ (Hood et al. 1988) เพื่อหาตำแหน่งของเลกติน 2 ในเซลล์ตาข้าง พบอยู่เฉพาะที่ผนังเซลล์ ซึ่งยังไม่เคยมีรายงานมาก่อน อย่างไรก็ตาม รายงานผลการวิจัยโดย Hoson and Masuda (1987) ให้ผลกระทบของเลกตินจากภายนอกต่อการยึดตัวของยอดต้นอ่อนในข้าวและถั่ว พบว่า เลกตินนี้เข้าไปเกาะอยู่กับผนังเซลล์ซึ่งเป็นแหล่งใหญ่ของน้ำตาลชนิดต่างๆ เมื่อผู้วิจัยให้

ผลกระทบซ้ำด้วยฮอร์โมนออกซิน (auxin) ปรากฏว่า ยอดพืชไม่เกิดการเจริญ โดยปกติออกซินออกฤทธิ์กระตุ้นการยึดตัวของต้นอ่อน ด้วยการกระตุ้นการเปลี่ยนแปลงทางชีวเคมีของเอนไซม์ ที่คลายความแข็งแรงในโครงสร้างผนังเซลล์ สรุปว่า เลกตินถ้าอยู่ที่ผนังเซลล์จะต้านการออกฤทธิ์ของออกซิน จึงมีเหตุผลที่ระดับเลกตินจะต้องถูกควบคุมให้ลดลงเพื่อส่งเสริมการเจริญเติบโตของยอดอ่อน อีกเหตุผลหนึ่งซึ่งอาจใช้อธิบายได้ คือ เนื้อเยื่อเจริญ (meristem) ของทั้งตาดยอด ตาข้าง และคัพภะ (embryo) มีลักษณะเหมือนกันคือ เซลล์จะเบียดกันชิดแน่น (tight adherence) เมื่อเซลล์เกิดพัฒนาการ (differentiation) จึงค่อยออกห่างจากการกัน (Knox 1992) เหตุผลนี้สอดคล้องกับคุณลักษณะของเลกตินซึ่งส่งเสริมการอยู่ชิดติดกันของเซลล์ (Sharon and Lis 1972) ประการสุดท้าย การเจริญเติบโตของตาที่หัวแก่้นตะวัน (เยรูซาเล็ม อาร์ติโชค) ต้องการการออกฤทธิ์ที่เหมาะสมของทั้งออกซินและไซโตไคนินเช่นเดียวกับเนื้อเยื่อเจริญอื่น (Kamisaka and Masuda 1971; Palmer and Gunnings 1984) การที่เลกตินอาจต่อต้านฤทธิ์ของออกซิน (Hoson and Masuda 1987) หรือ อาจจับโคเนตินไว้ (Roberts and Goldstein 1983) สามารถเป็นเหตุผลที่เกี่ยวข้องกับการพักตัวของเนื้อเยื่อเจริญ และพืชต้องมีกลไกการลดปริมาณเลกตินในสภาวะที่เซลล์จะเริ่มเกิดการเจริญได้

Van Damme et al. (1999) รายงานโปรตีนเลกติน 2 ชนิด ซึ่งพบที่หัวเยรูซาเล็ม อาร์ติโชค (แก่้นตะวัน) คือ lectin 1 และ lectin 2 (หรือเรียกอีกอย่างว่า lectin HE17 และ tuber agglutinin) ในขณะที่ Suseelan et al. (2002) รายงานเลกติน HTTL ในหัวแก่้นตะวัน โปรตีนเลกตินอีกชนิดหนึ่งที่พบในเยรูซาเล็ม อาร์ติโชค (แก่้นตะวัน) คือ เลกติน HTAI และ HTAI_{II} ในแคลลัส (callus) ซึ่งจะมีการแสดงออกเฉพาะเมื่อเหนี่ยวนำแคลลัสด้วยกรดจาสโมนิก (jasmonic acid) (Nakagawa et al. 2003) เลกตินเหล่านี้มีลำดับกรดอะมิโนของโปรตีนและลำดับเบสของรหัสพันธุกรรมใกล้เคียงกันมาก แต่เนื่องจากคณะผู้วิจัยสามารถตรวจพบได้ว่าเป็นเลกติน 2 ที่อยู่กับเนื้อเยื่อตาข้างหัวแก่้นตะวัน และลดปริมาณลงเมื่อตาข้างเกิดการงอก จึงมุ่งศึกษาการแสดงออกที่ระดับยีนของเลกติน 2 ด้วยวิธี RT-PCR จากการทดสอบไพรเมอร์ที่จะใช้ในขั้นตอน PCR โดยกำหนดสภาวะพื้นฐานของปฏิกิริยา PCR ที่ช่วยเพิ่มความจำเพาะของไพรเมอร์บริเวณเป้าหมาย ได้แก่ สภาวะซึ่งลดโอกาสการเกิดพันธะไฮโดรเจนระหว่างคู่เบส ปรากฏว่า ได้คู่ไพรเมอร์ 2 คู่ คือ คู่เดิมที่ Nakagawa et al. (2003) รายงานไว้ คือ F-R1 และคู่ที่ออกแบบ Reverse primer ใหม่ (R3) ใช้คู่กับ Forward primer (F) เดิมของ Nakagawa et al. (2003) บริเวณของ R3 อยู่เหนือ (upstream) ลำดับของ R1 เล็กน้อย จากการทำ alignment ลำดับเบสของ R1 ในเลกตินหลายๆ ชนิดของหัวแก่้นตะวัน (สุพรรณคุณดำรงค์ และคณะ 2555) พบว่ามีความเหมือนกันสมบูรณ์ ดังนั้น การทำ RT-PCR ด้วยคู่ไพรเมอร์ F-R1 จึงไม่มีความจำเพาะต่อเลกติน 2 เท่านั้น อาจเป็นไปได้ว่าจะเป็นโปรตีนเลกตินชนิดใดก็ได้ที่มีในตาข้าง ที่นำ

สังเกตคือ จะเกิดผลิตภัณฑ์อีกหนึ่งขนาดควบคู่ตลอดเวลา ในระดับที่มีปริมาณแปรปรวนผกผันกับปริมาณของผลิตภัณฑ์ RT-PCR ของเลคติน 2 ไพรเมอร์ F-R1 น่าจะมีความจำเพาะใกล้เคียงกันต่อลำดับต้นแบบ (template) ทั้งสองบริเวณ ส่วนคู่ไพรเมอร์ F-R3 ซึ่งออกแบบดัดแปลงให้มีความจำเพาะต่อลำดับเบสช่วงหนึ่งของ *lectin2* cDNA เมื่อใช้ทำ RT-PCR ให้ผลการทดลองซึ่งแสดงว่า การแสดงออกของยีน *lectin2* ลดลงอย่างต่อเนื่องชัดเจนเมื่อตาข้างของหัวแก่้นตะวันถูกกระตุ้นให้เกิดการเจริญ ในขณะที่ยีน 18S rRNA เกิดการแสดงออกเพิ่มขึ้นเมื่อตาข้างเกิดการเจริญ บ่งชี้ว่าเซลล์เกิดกิจกรรมสังเคราะห์โปรตีนเพิ่มขึ้น ทั้งนี้ 18S rRNA เป็นส่วนประกอบของไรโบโซมหน่วยเล็ก (small subunit ribosome) ไรโบโซมเป็นชีวโมเลกุลโปรตีนเชิงซ้อน ทำหน้าที่ในกระบวนการแปลรหัสพันธุกรรม (translation) ให้เกิดการสังเคราะห์โปรตีน การที่ SDS-PAGE วิเคราะห์แถบของโปรตีนเลคติน 2 ได้ว่ามีปริมาณลดลง (พรพิมล เจริญนัยปริเปรมและคณะ 2554) อย่างน้อยน่าจะเป็นผลจาก 2 สาเหตุร่วมกัน คือ การแสดงออกของยีน *lectin2* ลดลง และเกิดการแสดงออกของโปรตีนชนิดอื่นๆ เพิ่มขึ้นสัมพันธ์กับการเจริญเติบโตของเซลล์ของตาข้าง

ในระยะพักตัว (dormancy) เซลล์มีกิจกรรมเมตาบอลิซึมต่ำ เป็นวิวัฒนาการการปรับตัวของพืชเพื่อความอยู่รอดตามธรรมชาติในสภาวะที่สิ่งแวดล้อมไม่เหมาะสมเกิดจากเปลี่ยนแปลงทางชีวเคมีภายในเซลล์ และเนื้อเยื่อซึ่งควบคุมโดยฮอร์โมน ทำให้เซลล์อยู่ที่ระยะ G1-phase (Suttle 2004) พืชบางชนิดเกิดภาวะพักตัวของเนื้อเยื่อส่วนใดส่วนหนึ่งแล้วยังคงอยู่ในภาวะนั้นจนแม้เมื่อสิ่งแวดล้อมเหมาะสมแล้วก็ยังไม่เจริญเติบโต พืชเศรษฐกิจชนิดที่มีภาวะพักตัวและได้รับการศึกษาอย่างมากคือ มันฝรั่ง เพื่อให้รู้สภาวะที่จะทำให้หัวมันฝรั่งอยู่ในระยะพักตัวให้นานขึ้น ฮอร์โมนเอทิลีน (ethylene) และกรดแอบไซซิก (abscisic acid; ABA) ชักนำภาวะพักตัว ฮอร์โมน ABA คงสภาพภาวะพักตัว ฮอร์โมนไซโตไคนินชักนำการออกจากภาวะพักตัว (dormancy breakage) ส่วนออกซินและจิบเบอเรลลิน (gibberellins) กระตุ้นการเกิดยอดอ่อนของตาที่หัวมันฝรั่ง (sprouting) เมื่อจะออกจากภาวะพักตัวเซลล์ย่อมมีกิจกรรมเมตาบอลิซึมสูงขึ้น รวมทั้งกิจกรรมการหายใจที่ไม่โตคอนเดรีย ผลที่ตามมาคือภายในเซลล์เริ่มเกิดกลุ่มสารออกซิเจนว่องไว (reactive oxygen species; ROS) ในไซโตพลาสซึม เพอร์ออกซิโซม (peroxisome) และไมโทคอนเดรีย (Møller 2001; Karuppanapandian et al. 2011) อนุมูลอิสระออกซิเจนที่เรียกว่าซูเปอร์ออกไซด์ (superoxide free radical) เป็น ROS ตัวเริ่มต้น แหล่งที่ผลิตซูเปอร์ออกไซด์อีกเช่นกัน คือ กระบวนการสังเคราะห์แสงในคลอโรพลาสต์ แต่ในงานวิจัยนี้กระตุ้นตาข้างของหัวแก่้นตะวันถึงระยะก่อนเกิดยอดอ่อน กระบวนการสังเคราะห์แสงจึงเป็นปัจจัยไม่เกี่ยวข้องกับการทดลอง

เซลล์พืชมีระบบจัดการ ROS ซึ่งเกิดขึ้นในเซลล์ทั้งในระดับปกติจากเมตาบอลิซึมพื้นฐาน (basal metabolism) หรือสูงเกินระดับปกติ (oxidative burst) ระบบเอนไซม์ (antioxidant enzymes) เกี่ยวข้องกับหน้าที่ของกลุ่มเอนไซม์ซูเปอร์ออกไซด์ดิสมิวเตส (superoxide dismutases; SOD) เปลี่ยนซูเปอร์ออกไซด์เป็นไฮโดรเจนเปอร์ออกไซด์ และกลุ่มเอนไซม์ที่เปลี่ยนไฮโดรเจนเปอร์ออกไซด์เป็นน้ำและออกซิเจน ได้แก่ เอนไซม์คะตาเลส (catalase) และเปอร์ออกซิเดส (peroxidases) เนื่องจากไฮโดรเจนเปอร์ออกไซด์จัดเป็น ROS ชนิดหนึ่ง ในงานวิจัยนี้ทำการศึกษาเกี่ยวกับเอนไซม์ 2 ชนิด คือ CuZn-SOD และ แอสคอร์เบตเปอร์ออกซิเดส (APX) ด้วยเหตุผลว่าเอนไซม์ทั้งสองชนิดนี้มีกิจกรรมอยู่ในทุกส่วนของเซลล์พืชที่เป็นแหล่งเกิดอนุมูลอิสระซูเปอร์ออกไซด์ คือ ไชโตพลาสซึม ไมโทคอนเดรีย (และรวมทั้งในคลอโรพลาสต์) (Palma et al. 1987; Marco et al. 1999; Mittler 2002)

จากการออกแบบไพรเมอร์จำเพาะและใช้วิธี RT-PCR ศึกษาการแสดงออกของยีน *CuZn-SOD* และ *APX* ในตาที่ระยะพักตัว (ระยะที่ 1) เปรียบเทียบกับตาซึ่งเกิดกระตุ้นการงอกสังเกตได้จากการเปลี่ยนรูปร่างและสีฐาน 5 ระยะซึ่งยังไม่เกิดยอดอ่อน (พรพิมล เจียรณัยปริเปรม และคณะ 2554; ภาคผนวกที่ 1) ปรากฏว่าไพรเมอร์ทำปฏิกิริยากับบริเวณเฉพาะตามที่ต้องการ เมื่อเปรียบเทียบกับผลการติดตามการแสดงออกของ ยีน *18S rRNA* ข้างต้นแล้ว ระดับการแสดงออกของทั้ง *CuZn-SOD* และ *APX* ไม่คงที่ แต่เป็นไปในทำนองเดียวกัน คือ มีระดับการแสดงออกใกล้เคียงกันในตาระยะพักตัว (ระยะที่ 1) และระยะทันทีที่ออกจากการพักตัว (ระยะที่ 2) หลังจากนั้นระดับการแสดงออกลดลง เพิ่มขึ้นสูงอีกครั้งเมื่อเจริญถึงระยะที่ 5 แล้วลดลงในระยะเวลาที่ 6 ผลการทดลองนี้ไม่เป็นไปตามสมมติฐาน ซึ่งคาดว่าระดับการแสดงออกน่าจะสูงขึ้นตามระยะการเจริญของตา อย่างไรก็ตามจากการค้นคว้าข้อมูลอ้างอิง พบหลักฐานที่น่าสนใจในการทดลองกับหัวหอมใหญ่ (onion bulb) ซึ่ง Benkeblia and Shiomi (2004) รายงานไว้ว่าอัตราการหายใจของยอดอ่อน (sprout) สูงกว่าของตาที่พักตัว โดยไม่มีรายงานค่าอัตราการหายใจในช่วงเวลาระหว่าง 2 ระยะนั้น แต่วัดกิจกรรมของเอนไซม์เปอร์ออกซิเดสได้สูงสุดที่ระยะเริ่มเกิดการกระตุ้นการออกจากภาวะพักตัวของตา หลังจากนั้นกิจกรรมของเอนไซม์ลดลงที่ระดับคงที่แล้วเพิ่มขึ้นเล็กน้อยก่อนถึงระยะเกิดยอดอ่อน ซึ่งค่อนข้างสอดคล้องกับผลการศึกษาในแแก่นตะวันนี้ แต่ยังมีอีกปัจจัยหนึ่งซึ่งควบคุมไม่ได้ในการทดลอง คือ การผ่าหัวแแก่นตะวันเป็นชิ้นเพื่อทำการทดลองกระตุ้นตาข้างนี้ เป็นปัจจัยกระตุ้นสภาวะเครียดออกซิเดทีฟ (oxidative stress) ขึ้น ซึ่งชักนำให้เกิด ROS และสัญญาณที่มีอิทธิพลต่อการแสดงออกของเอนไซม์หลายระบบ (Minibayeva et al. 2009)